

и совершая в (3.1) предельный переход  $\sigma \rightarrow +\infty$  (штриховая линия на рис. 3), приходим к задаче

$$(3.3) \quad C_6^2 - X_6^2 - T_6^2 - H_6 = \int_{X_6}^{+\infty} \frac{\partial^2 C_6(s, T_6)}{\partial s^2} \frac{ds}{(s - X_6)^{1/2}} - \gamma_6 \int_{-\infty}^{X_6} \frac{\partial C_6(s, T_6)}{\partial T_6} \frac{ds}{(X_6 - s)^{1/4}}$$

$C_6 = (X_6^2 + T_6^2 + H_6)^{1/2} + \dots$  ( $T_6 \rightarrow -\infty$ ,  $X_6 \rightarrow \pm\infty$ ). Соотношение между эффектами нестационарности и взаимодействия регулируется параметром  $\gamma_6$ .

Задача (3.3) в точности совпадает с задачей о взаимодействии на передней кромке тонкого профиля, у которого угол атаки изменяется со временем по параболическому закону, достигая максимального значения в момент  $T_6 = 0$  [5–7]. Задача требует численного решения, которое осложняется присутствием коротковолновой неустойчивости [5, 7]. Рассмотрим поэтому предельный случай докритических углов атаки  $H_6 \gg 1$ , где решение можно представить в виде

$$\begin{aligned} (\xi, \eta) &= H_6^{-1/2} (X_6, T_6) = O(1), \\ C_6 &= H_6^{-1/2} D_1(\xi, \eta) + H_6^{-9/8} D_2(\xi, \eta) + \dots, \quad D_1 = (1 + \xi^2 + \eta^2)^{1/2}, \\ D_2 &= - \frac{\gamma_6 \eta}{2(1 + \xi^2 + \eta^2)^{1/2}} \int_{-\infty}^{\xi} \frac{ds}{(1 + s^2 + \eta^2)^{1/2} (\xi - s)^{1/4}} \end{aligned}$$

Отметим, что в главном приближении решение симметрично по времени относительно момента  $\eta = 0$ . Однако линейная поправка в трении оказывается антисимметричной и, что существенно, отрицательной при  $\eta > 0$ . Отсюда следует существование слабого гистерезиса в решении при докритических значениях угла атаки профиля. Кроме того, знак функции  $D_2$  указывает на то, что более чувствительным к отрыву оказывается этап уменьшения угла атаки.

Автор благодарит В. В. Сычева и А. И. Рубана за внимание к работе и обсуждение результатов.

#### ЛИТЕРАТУРА

1. Тимошин С. Н. Асимптотический анализ локально возмущенных пульсирующих течений в пограничном слое // ПМТФ.— 1988.— № 2.
2. Рубан А. И. Особое решение уравнений пограничного слоя, непрерывно продолжимое через точку нулевого поверхностного трения // Изв. АН СССР. МЖГ.— 1981.— № 6.
3. Рубан А. И. Асимптотическая теория коротких зон отрыва на передней кромке тонкого профиля // Изв. АН СССР. МЖГ.— 1982.— № 1.
4. Stewartson K., Smith F. T., Kaups K. Marginal separation // Stud. Appl. Math.— 1982.— V. 67, N 1.
5. Рубан А. И. Об устойчивости предотрывного пограничного слоя на передней кромке тонкого профиля // Изв. АН СССР. МЖГ.— 1982.— № 6.
6. Smith F. T. Concerning dynamic stall // Aeron. Quart.— 1982.— V. 33, N 4.
7. Ryzhov O. S., Smith F. T. Short-length instabilities, breakdown and initial value problems in dynamic stall // Mathematika.— 1984.— V. 31, pt 2, N 62.

Поступила 19/VIII 1987 г.

УДК 532.526

### О ВЛИЯНИИ ПРОФИЛЯ СКОРОСТИ СТРУИ НА ХАРАКТЕРИСТИКИ ТЕЧЕНИЯ ВБЛИЗИ ПРЕГРАДЫ

А. И. Абросимов

(Истра)

Течение затопленной струи, бьющей по нормали в плоскую преграду, условно считают состоящим из двух областей [1]: в первой, начинающейся от среза сопла, поток распространяется по закономерности свободных сдвиговых течений; вторая, расположенная между сечением, где заметно сказывается влияние преграды,

и стенок, — так называемая область взаимодействия (*I* и *II* на рис. 1). Последняя в свою очередь состоит из зоны поворота, включающей пристенное течение с отрицательным градиентом давления, и верной полуограниченной струи для осесимметричной задачи.

В свободной затопленной струе вниз по потоку изменяются как характеристики турбулентности, так и профиль осредненной скорости [2]. К известным факторам, влияющим на характеристики струи, втекающей в область взаимодействия, относятся: распределение скорости в начальном сечении, параметры пристенного пограничного слоя у стенки сопла, начальная турбулентность (интенсивность и масштаб турбулентных возмущений), расстояние между соплом и преградой  $H = h/d$  и др. ( $d = 2r_0$  — диаметр сопла).

Анализ показывает, что пристенный пограничный слой на преграде развивается в условиях малых чисел Рейнольдса  $Re_m = u_m \delta / \nu$  и  $Re^{**} = u_m \delta^{**} / \nu$ , где  $u_m$  — скорость на внешней границе пристенного пограничного слоя,  $\delta$  — толщина слоя,  $\delta^{**}$  — толщина потери импульса. Например, для струи с прямоугольным начальным профилем скорости и невысокой интенсивностью турбулентности на срезе сопла ( $\epsilon \leq 0,01$ ) на расстоянии от критической точки преграды в радиальном направлении  $R = r/d = 1,25$  в режиме  $Re = V_0 d / \nu = 11000$   $Re^{**} = 45$ , а в режиме  $Re = 10^5$   $Re^{**} = 150$  ( $V_0$  — среднemasовая скорость на срезе сопла). Исходя из существующих представлений, при относительно небольших расстояниях от критической точки преграды наряду с профилем скорости натекающей струи на структуру пристенного пограничного слоя следует ожидать также влияние турбулентности потока на входе в область взаимодействия. В связи с разработкой методов интенсификации процессов струйного тепло- и массопереноса актуальным является изучение влияния каждого из отмеченных факторов в отдельности.

В [3, 4] показано, что переход от прямоугольного начального профиля скорости в ламинарной струе, бьющей в преграду, к параболическому приводит к существенной интенсификации теплопереноса в окрестности критической точки преграды. Для круглой струи это увеличение близко к двукратному [4].

В данной работе исследуется влияние профиля осредненной скорости, характерного для свободных изотермических затопленных струй, на некоторые характеристики пристенного пограничного слоя на плоской преграде.

Схема течения представлена на рис. 1. Полагалось, что в области *I* имеет место течение, свойственное свободной затопленной струе, а в *II* — течение ламинарное. Изучалось течение в области взаимодействия. Уравнения Навье — Стокса и неразрывности для несжимаемой жидкости с использованием переменных завихренность ( $\omega = \partial u / \partial x - \partial v / \partial r$ ) и функция тока ( $\partial \psi / \partial x = -ur$ ,  $\partial \psi / \partial r = vr$ ) преобразовывались в систему [5]

$$-\frac{\partial}{\partial X} \left( \frac{1}{R} \frac{\partial \bar{\psi}}{\partial X} \right) - \frac{\partial}{\partial R} \left( \frac{1}{R} \frac{\partial \bar{\psi}}{\partial R} \right) - \bar{\omega} = 0,$$

$$R^2 \left[ \frac{\partial}{\partial X} \left( \frac{\bar{\omega}}{R} \frac{\partial \bar{\psi}}{\partial R} \right) - \frac{\partial}{\partial R} \left( \frac{\bar{\omega}}{R} \frac{\partial \bar{\psi}}{\partial X} \right) \right] - \frac{\partial}{\partial X} \left[ R^3 \frac{\partial}{\partial X} \left( \frac{1}{Re} \frac{\bar{\omega}}{R} \right) \right] - \frac{\partial}{\partial R} \left[ R^3 \frac{\partial}{\partial R} \left( \frac{1}{Re} \frac{\bar{\omega}}{R} \right) \right] = 0,$$

где  $X = x/d$ ;  $R = r/d$ ;  $\bar{\omega} = \omega d / V_0$ ;  $\bar{\psi} = \psi / (d^2 V_0)$ .

Расчетная область ограничивалась преградой, плоскостью начала области взаимодействия, отстоящей от преграды на расстоянии  $X_p = x_p/d = 1 \pm 0,05H$ , и цилиндрической поверхностью радиуса  $R_p = r_p/d = 2 \pm 0,1H$ . Соотношение для  $X_p$  получено согласно экспериментальным результатам [6, 7]. Обоснование размера расчетной области в радиальном направлении выполнено в [8] с учетом увеличения области поворота потока по мере удаления преграды от сопла, а также из условия незначительного изменения результатов вычислений в градиентной области течения при росте  $R_p$  относительно величины, полученной по приведенной формуле.

Распределение осредненной скорости в свободной струе задавалось с помощью *P*-функции [9]

$$\frac{v}{v_{m0}} = \frac{1}{2\xi} \exp \left( -\frac{r^2}{4\xi} \right) \int_0^{r_0} \exp \left( -\frac{\rho^2}{4\xi} \right) I_0 \left( \frac{\rho r}{2\xi} \right) \rho d\rho.$$

Здесь  $I_0$  — функция Бесселя нулевого порядка от мнимого аргумента;  $v_{m0}$  — скорость на оси в начальном участке струи; *P*-функция затабулирована в [10]. Это соотношение позволяет описать непрерывную дефор-

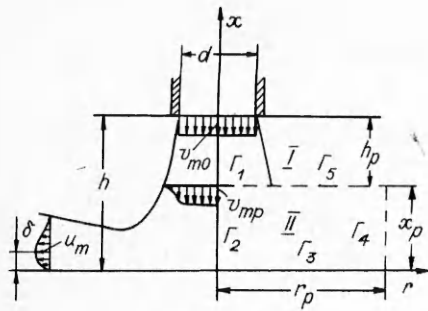


Рис. 1

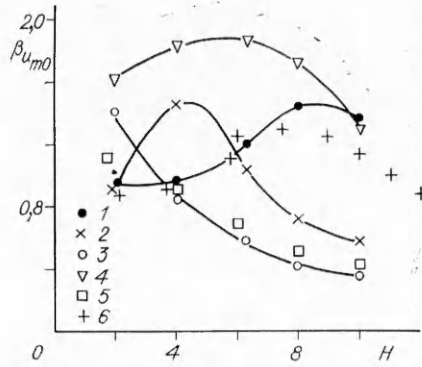


Рис. 2

мацию профиля скорости от исходного, например прямоугольного, до гауссовского далеко вниз по потоку.

Если  $H_p = H_n$  ( $H_n$  — длина начального участка струи), то, согласно [10],  $\sqrt{\xi}/r_0 = 0,18$ . В области  $1 \leq H_p \leq H_n$  изменение  $\sqrt{\xi}/r_0$  описывается приближенной зависимостью [11]  $\sqrt{\xi}/r_0 = 0,18H_p/H_n$  ( $H_p = H - X_p$ ). В переходном и основном участках струи  $\sqrt{\xi}/r_0$  определялась по таблицам  $P$ -функции с использованием экспериментальных данных по изменению скорости на оси.

Условия истечения исследованных струй и значения осевой скорости на входе в расчетную область для рассмотренных расстояний между срезами сопла и преградой приведены в таблице.

По полученному значению  $\sqrt{\xi}/r_0$  и по таблицам  $P$ -функции находились значения скорости для каждого узла расчетной сетки на входе в область взаимодействия (см. рис. 1, граница  $\Gamma_1$ ). На оси (граница  $\Gamma_2$ ) выполняются условия симметрии ( $\bar{\psi} = \partial\bar{\omega}/\partial R = 0$ ). Граница  $\Gamma_3$  — поверхность преграды. Из условия прилипания и непроницаемости стенки  $\bar{\psi} = 0$ . Завихренность на оси и на стенке вычислялась по приближенным формулам второго порядка точности [5]. На выходе из расчетной области (граница  $\Gamma_4$ ) характеристики потока вдоль направления движения изменяются сравнительно медленно:  $\partial\bar{\psi}/\partial R = \partial\bar{\omega}/\partial R = 0$ . На границе  $\Gamma_5$  поток считается безвихревым ( $\bar{\omega}/R = \partial\bar{\psi}/\partial X = 0$ ). Задача решалась численно конечно-разностным методом [5].

Расчетная сетка  $23 \times 23$  имела сгущения вблизи стенки и в радиальном направлении вблизи  $R = 0,5$ . Внутри пристенного пограничного слоя находилось 7—9 точек расчетной сетки, расположенных по закону геометрической прогрессии. Предварительные расчеты показали, что толщина пристенного пограничного слоя вблизи оси  $\bar{\delta}_0 = \delta_0/d \sim Re^{-0,38}$ . Расстояние от стенки до ближайшего ряда сетки изменялось пропорционально  $\bar{\delta}_0$  и, например, для  $Re = 11000$  равнялось  $7 \cdot 10^{-4} d$ . Ближайший к оси ряд сетки был удален от нее на  $0,1 d$ . В качестве критерия сходи-

Начальный профиль скорости	$\varepsilon$	$v_{mp}/v_{m0}$					Источник
		$H$					
		2	4	6,3	8	10	
Прямоугольный	0,01	1	1	1	0,95	0,83	[12]
»	0,093	1	0,982	0,741	0,59	0,511	[12]
»	0,209	0,89	0,662	0,524	0,457	0,408	[12]
Развитый турбулентный	0,02	1	0,991	0,949	0,854	0,709	[13]
Параболический, ламинарная струя	—	0,9993	0,9982	0,9964	0,9952	0,9938	[14]

мости итерационного процесса решения краевой задачи использовалось соотношение

$$\left( \frac{\varphi^n - \varphi^{n-1}}{\varphi_{\max}^{n-1}} \right)_{\max} \leq 10^{-3},$$

где  $\varphi$  — переменная;  $n$  — номер итерации; индекс  $\max$  означает наибольшее значение в поле переменных.

Изменение градиента скорости вблизи оси  $\beta_{u_{m0}} = (\partial u_m / \partial r)_{r=0} d / V_0$  для различных условий истечения струи в зависимости от расстояния  $H$  представлено на рис. 2. При прямоугольном профиле скорости на срезе сопла и  $\varepsilon \leq 0,01$  (точки 1)  $\beta_{u_{m0}}$  до  $H = 4$  увеличивается незначительно, далее возрастает более интенсивно и достигает максимального значения на  $H \approx 8,5$ , т. е. когда начало области взаимодействия расположено в конце переходного участка струи. Следует отметить, что так как в расчетной области течение полагалось ламинарным, то изменение  $\beta_{u_{m0}}$  на расстоянии  $H_p \leq H_n$  вызвано только деформацией профиля скорости, а в переходной к тому же — уменьшением скорости на оси.

По мере увеличения начальной турбулентности (точки 2, 3 соответствуют  $\varepsilon = 0,093; 0,209$ ) при сохранении профиля скорости на срезе сопла прямоугольным расстояние  $H$ , где  $\beta_{u_{m0}} = (\beta_{u_{m0}})_{\max}$ , смещается в область меньших значений. Причем  $(\beta_{u_{m0}})_{\max}$  почти не зависит от  $\varepsilon$ . При  $\varepsilon = 0,209$  изменение  $\beta_{u_{m0}}$  с увеличением  $H$  характеризуется монотонным уменьшением. Измерения [15] (точки 6), выполненные для струи с прямоугольным начальным профилем скорости при  $\varepsilon \leq 0,01$ , хорошо согласуются с расчетом до  $H = 5$ . Занижение экспериментальных значений  $\beta_{u_{m0}}$  в области  $H > 5$  связано, видимо, с более быстрым, чем принято в расчетах, рассеиванием струи. Сравнение с данными, относящимися к искусственно турбулизированной струе ( $\varepsilon = 0,22$ ) с прямоугольным профилем скорости на срезе сопла [16] (точки 5), показывает, что в области  $H = 4-10$  совпадение хорошее, однако на  $H = 2$  расчетные данные превышают эксперимент почти на 25 %.

С увеличением заостренности профиля скорости в начальном сечении струи градиент скорости  $\beta_{u_{m0}}$  в диапазоне  $2 \leq H \leq 10$  возрастает. Для развитого турбулентного начального профиля скорости и  $\varepsilon \approx 0,02$  максимум значения  $\beta_{u_{m0}}$  (точки 4) наблюдается на  $H \approx 5,5$ . Для ламинарной импактной струи с параболическим начальным профилем скорости в исследованном диапазоне  $H$  значение  $\beta_{u_{m0}}$  остается примерно постоянным и на  $H = 2$  превышает градиент для струи с прямоугольным начальным профилем скорости при  $\varepsilon \leq 0,01$  примерно в 4 раза.

Для турбулентной импактной струи с прямоугольным начальным профилем скорости при  $\varepsilon \leq 0,01$  можно рекомендовать следующие соотношения для расчета  $\beta_{u_{m0}}$ :

$$\begin{aligned} \beta_{u_{m0}} &= 0,95 = \text{const} && \text{при } H = 2 - 4, \\ \beta_{u_{m0}} &= 0,48 + 0,118H && \text{при } H = 4 - 8,5, \\ \beta_{u_{m0}} &= 2,59 - 0,129H && \text{при } H = 8,5 - 12. \end{aligned}$$

Для импактных струй с прямоугольным начальным профилем скорости и различной интенсивностью турбулентности на срезе сопла значения  $\beta_{u_{m0}}/V_{m0}$  как функции от  $\sqrt{\bar{\xi}}/r_0$  группируются вокруг одной кривой, характеризующейся максимумом примерно на  $\sqrt{\bar{\xi}}/r_0 = 0,3$  (рис. 3, обозначение точек аналогично рис. 2). Здесь  $V_{m0} = v_{m0}/V_0$ . С ростом  $\sqrt{\bar{\xi}}/r_0$  в диапазоне 0,03—0,3 градиент скорости увеличивается:  $(\beta_{u_{m0}}/V_{m0})_{\max} = 1,55$ . Для развитого турбулентного начального профиля скорости при  $\varepsilon \approx 0,02$  положение максимума и его величина остаются

почти такими же. При параболическом начальном профиле скорости максимума не наблюдается.

В области  $\sqrt{\xi}/r_0 \geq 0,3$  для всех исследованных режимов расчетные точки с незначительным отклонением ложатся на прямую  $\beta_{u_{m0}}/V_{m0} = 2,41 - 3,09 \sqrt{\xi}/r_0$  (рис. 3). В случае параболического профиля скорости на срезе сопла эта зависимость соблюдается и в области  $\sqrt{\xi}/r_0 < 0,3$ .

Распределение градиента скорости  $\beta_{u_m} = (\partial u_m / \partial r) d / V_0$  в радиальном направлении имеет ряд особенностей. В импактной струе с прямоугольным начальным профилем скорости при  $\varepsilon \leq 0,01$  на  $H = 2$  по мере удаления от оси  $\beta_{u_m}$  сначала возрастает, достигает максимального значения на  $R \approx 0,56$  и затем уменьшается до нуля в конце области градиентного течения ( $R \approx 1,0$ ). Максимальное значение градиента скорости  $(\beta_{u_m})_{\max}$  примерно в 1,8 раза больше, чем у оси. С удалением преграды от сопла отношение  $(\beta_{u_m})_{\max} / \beta_{u_{m0}}$  немного уменьшается и сам пик смещается к оси. На  $H \geq 8$  максимальное значение  $\beta_{u_m}$  находится на оси.

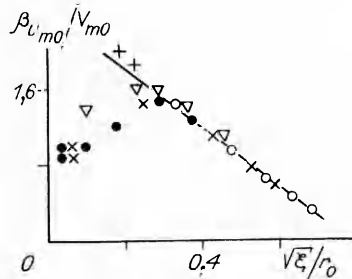
С увеличением начальной интенсивности турбулентности перестройка профиля скорости натекающей струи происходит быстрее, поэтому в импактной струе с  $\varepsilon = 0,093$  периферийный пик в радиальном распределении  $\beta_{u_m}$  наблюдается лишь на  $H \leq 4$ , а на режиме с  $\varepsilon = 0,209$ , начиная с  $H = 2$ , положение  $(\beta_{u_m})_{\max}$  совпадает с осью.

При натекании на преграду струи с развитым турбулентным профилем скорости на срезе сопла при  $\varepsilon \approx 0,02$  распределение  $u_m$  на небольших  $H$  также имеет точку перегиба, а кривая  $\beta_{u_m} = f(R)$  характеризуется периферийным максимумом. В этих условиях пик невелик и имеет место только на  $H \leq 4$ . На  $H = 2$  отношение  $(\beta_{u_m})_{\max} / \beta_{u_{m0}} \approx 1,18$ , а пик находится на  $R \approx 0,3$ .

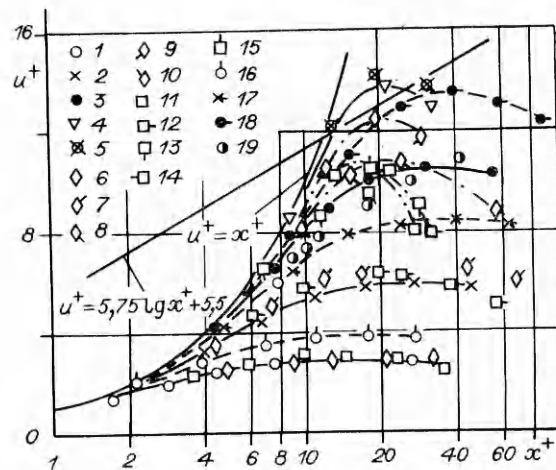
В импактной ламинарной струе с параболическим начальным профилем скорости на всех исследованных  $H$  распределение  $\beta_{u_m} = f(R)$  имеет колоколообразный вид с  $(\beta_{u_m})_{\max}$  на оси.

На рис. 4 представлены профили продольной скорости  $u^+ = u/u_*$  вблизи стенки при  $Re = 11000$  и различном распределении скорости в струе на входе в область взаимодействия ( $u_* = \sqrt{\tau_w/\rho}$  — скорость трения и  $x^+ = u_* x/\nu$ ). Точки 1—15 относятся к прямоугольному начальному профилю скорости струи при  $\varepsilon \leq 0,01$ : 1—5 вычислены для  $H = 2$ ; 6—10 — 6,3; 11—15 — 10.

В градиентной зоне и зоне переходного течения вверной струи профиль скорости в пристенном пограничном слое неавтомоделен. С удалением от критической точки преграды (точки 1 относятся к сечению на  $R = 0,1064$ ; 2 — 0,4446; 3 — 0,949; 4 — 1,89; 5 — 2,11) толщина слоя с линейным изменением скорости увеличивается. Отметим, что на  $H = 2$  градиентная зона оканчивается примерно на  $R =$



Р и с. 3



Р и с. 4

$= 1,0$ , а переходная простирается примерно до  $R = 2,5$ . Кривые  $u^+ = f(x^+) =$  имеют горб, обусловленный наличием максимума скорости на внешней границе пристенного пограничного слоя. Отклонение распределения скорости от линейной зависимости вызвано переходом пристенного пограничного слоя во внешнее течение при небольших  $R$  (градиентное течение) и в струйный пограничный слой верной струи. Это отклонение заметно уже на  $x^+ = 1$  при  $R = 0,1064$  и примерно на  $x^+ = 8$  при  $R = 1,8$ . Расчетные данные качественно согласуются с результатами экспериментов [17] (точки 19 —  $Re = 1,61 \cdot 10^5$ ,  $H = 11,8$ ,  $R = 3,25$ ).

На фиксированных  $R$  и неизменных условиях истечения струи распределение скорости в пристенном пограничном слое слабо меняется по мере удаления преграды от сопла (точки 6 —  $R = 0,1064$ ; 7 — 0,4446; 8 — 1,034; 9 — 1,84; 10 — 2,63; 11 — 0,1064; 12 — 0,4446; 13 — 1,01; 14 — 1,82; 15 — 2,63). Особенно мало влияние  $H$  в градиентной зоне течения.

Переход от прямоугольного начального профиля скорости при  $\varepsilon \leq 0,01$  к параболическому (точки 16 —  $R = 0,1064$ ; 17 — 0,4446; 18 — 0,949,  $H = 2$ ) сопровождается при тех же  $R$  расширением слоя с линейным изменением скорости и смещением кривой в область больших значений  $u^+$ . Положение максимума зависимости  $u^+ = f(x^+)$ , определяющее границу пристенного пограничного слоя, находится в диапазоне  $x^+ = 10-40$ .

Толщина пристенного пограничного слоя  $\bar{\delta} = \delta/d$  в области  $R \geq 0,1$  определялась по графику радиальной скорости  $u = f(x)$ , построенному по значениям скорости в узлах расчетной сетки. Толщина пограничного слоя вблизи оси  $\bar{\delta}_0$  находилась двумя способами: путем экстраполяции кривой  $\bar{\delta} = f(R)$  до оси в области  $R < 0,1$  и по графику изменения градиента осевой скорости  $\beta_{v_m} = (\partial v_m / \partial x) d / V_0 = f(x)$  в предположении, что координата, соответствующая  $(\beta_{v_m})_{\max}$ , является внешней границей пристенного слоя. Оба метода давали близкие результаты.

Профиль скорости натекающей струи оказывает сильное влияние не только на  $\bar{\delta}$ , но и на характер ее изменения в радиальном направлении (рис. 5,  $Re = 11\,000$ ). Для прямоугольного начального профиля скорости при  $\varepsilon \leq 0,01$  (точки 1 —  $H = 2$ ; 2 — 4; 3 — 6,3; 4 — 8; 5 — 10) на  $H = 10$ , когда переход течения в струе к автомодельному в основном заканчивается, с удалением от критической точки преграды толщина пограничного слоя монотонно возрастает. Если расстояние  $H$  сокращается, то в радиальном распределении  $\bar{\delta}$  появляются особенности. На  $H = 6,3$ , когда  $H_p \approx H_n$  и, следовательно, начало области взаимодействия совпадает с границей начального участка струи ( $H_n = 5$ ), по мере удаления от критической точки в области  $0,1 \leq R \leq 0,5$   $\bar{\delta}$  уменьшается. На  $R \approx 0,5$  она достигает минимального значения и при дальнейшем смещении вниз по потоку плавно возрастает. Уменьшение расстояния между соплом и преградой в диапазоне  $H < 6,3$ , сопровождающееся расширением плоского участка в профиле скорости натекающей струи, приводит к увеличению  $\bar{\delta}_0$  и смещению радиальной координаты, отвечающей  $\bar{\delta}_{\min}$ , вниз по потоку. На  $H = 2$  эта координата находится примерно на  $R = 1,0$ .

На  $H = 2$  с переходом от прямоугольного начального профиля скорости струи при  $\varepsilon \leq 0,01$  к развитому турбулентному при  $\varepsilon \approx 0,02$  пограничный слой становится тоньше, провал в распределении  $\bar{\delta} = f(R)$  уменьшается, координата, отвечающая  $\bar{\delta}_{\min}$ , смещается к оси (точки 6,  $H = 2$ ). При параболическом начальном профиле скорости на  $H = 2$  (точки 7) толщина пристенного пограничного слоя примерно постоянна до  $R = 0,9$  и далее вниз по потоку постепенно увеличивается. Отметим, что в высокотурбулизованной ( $\varepsilon = 0,209$ ) импактной струе (точки 8) на  $H = 10$  значение  $\bar{\delta}$  примерно в 1,7 раза больше, чем в струе с невысокой ( $\varepsilon \leq 0,01$ ) интенсивностью турбулентности на срезе сопла.

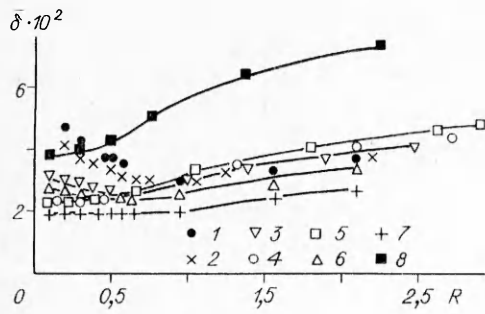


Рис. 5

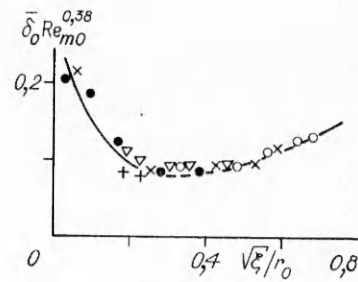


Рис. 6

Расчет толщины пограничного слоя  $\bar{\delta}_0$  по соотношению  $\bar{\delta}_0 = 1,95/(\beta_{u_{m0}} Re)^{0,5}$ , построенному на основе решения Ф. Хомана [18], с подстановкой в него значений  $\beta_{u_{m0}}$ , полученных в настоящей работе, для струи с прямоугольным начальным профилем скорости при  $\epsilon \leq 0,01$  дает занижение  $\bar{\delta}_0$  по сравнению с данными рис. 5 в 1,6—2,5 раза в диапазоне  $H$  от 2 до 10. Аналогичное несоответствие было обнаружено также в опытах [19], где отмечено, что измеренная толщина пограничного слоя выше вычисленной по приведенной формуле на 50—100 %.

На рис. 6 (обозначения соответствуют рис. 2) представлены результаты по изменению толщины пристенного пограничного слоя вблизи оси. Можно видеть, что в переменных  $\bar{\delta}_0 Re_{m0}^{0,38}$  и  $\sqrt{V \bar{\xi}}/r_0$  результаты расчетов группируются вокруг одной кривой, имеющей минимум на  $\sqrt{V \bar{\xi}}/r_0 \approx 0,3$ . Левая часть кривой ( $0,03 \leq \sqrt{V \bar{\xi}}/r_0 \leq 0,3$ ) описывается соотношением  $\bar{\delta}_0 Re_{m0}^{0,38} = 0,082 + 1,66(0,3 - \sqrt{V \bar{\xi}}/r_0)^{1,89}$ , а правая ( $\sqrt{V \bar{\xi}}/r_0 \geq 0,3$ ) — соотношением  $\bar{\delta}_0 Re_{m0}^{0,38} = 0,082 + 0,3(\sqrt{V \bar{\xi}}/r_0 - 0,3)^{1,89}$ . На рис. 6 эти кривые нанесены. Здесь  $Re_{m0} = v_{m0} d/v$ .

Толщина вытеснения  $\bar{\delta}^* = \delta^*/d$  (рис. 7:  $Re = 11\,000$ , обозначения отвечают рис. 5) на  $H = 2$  при прямоугольном начальном профиле скорости и  $\epsilon \leq 0,01$  с удалением от оси в радиальном направлении сначала уменьшается, достигает минимальной величины  $\bar{\delta}_{min}^*$  на  $R \approx 0,55$  и далее возрастает. Отношение  $\bar{\delta}_0^*/\bar{\delta}_{min}^* = 1,23$ . По мере удаления преграды от сопла провал в радиальном распределении  $\bar{\delta}^*$  уменьшается, на  $H = 6,3$  он почти незаметен, а на  $H \geq 8$  изменение  $\bar{\delta}^*$  характеризуется плавным увеличением вниз по потоку. Сечение с наиболее заполненным профилем скорости ( $\bar{\delta}^* = \bar{\delta}_{min}^*$ ) совпадает с сечением, в котором  $\beta_{u_{m0}}$  имеет наибольшую величину.

Для прямоугольного начального профиля скорости при  $\epsilon = 0,093$  провал в распределении  $\bar{\delta}^*$  наблюдается только на  $H = 2$ . Находится он на  $R \approx 0,55$ , а  $\bar{\delta}_0^*/\bar{\delta}_{min}^* = 1,19$ . При  $H = 2$  и  $\epsilon = 0,209$  толщина вытеснения плавно увеличивается при удалении от критической точки преграды.

Переход от прямоугольного начального профиля скорости при  $\epsilon \leq 0,01$  к развитому турбулентному с  $\epsilon \approx 0,02$  и далее к параболическому на  $H = 2$  сопровождается уменьшением  $\bar{\delta}^*$ , причем на этих режимах на рас-

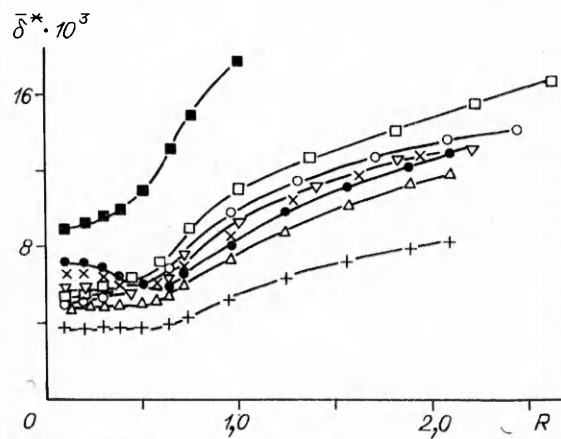


Рис. 7

стоянии  $0,1 \leq R \leq 0,5$  толщина вытеснения остается примерно постоянной и возрастает при дальнейшем увеличении  $R$ . Характерно, что вблизи оси на  $H = 2$  при параболическом начальном профиле скорости  $\bar{\delta}^*$  почти в 2 раза меньше, чем при прямоугольном и  $\varepsilon \leq 0,01$ .

Обработка расчетных данных по толщине вытеснения вблизи оси показала, что изменение параметра  $\bar{\delta}_0^* Re_{m_0}^{0,5}$  в функции от  $\sqrt{\xi}/r_0$  подчиняется единой зависимости. Обобщающая кривая имеет минимум на  $\sqrt{\xi}/r_0 = 0,3$ . В области  $0,03 \leq \sqrt{\xi}/r_0 \leq 0,3$  она может быть описана формулой  $\bar{\delta}_0^* Re_{m_0}^{0,5} = 0,52 + 2,63 (0,3 - \sqrt{\xi}/r_0)^{1,77}$ , а в области  $\sqrt{\xi}/r_0 \geq 0,3$  — формулой  $\bar{\delta}_0^* Re_{m_0}^{0,5} = 0,52 + 1,62 (\sqrt{\xi}/r_0 - 0,3)^{1,44}$ .

Расчеты показали, что формпараметр  $\kappa = \delta^*/\delta^{**}$  на всех рассмотренных режимах истечения и расстояниях  $H$  увеличивается с удалением от критической точки преграды, причем с ростом  $R$  диапазон изменения  $\kappa$  при изменении режимных параметров уменьшается и в первом приближении можно принять, что, например, на  $R = 1,8$   $\kappa = 2,6$ . На  $R = 0,1$  изменение  $\kappa$  удалось описать соотношением  $\kappa_{0,1} = 2,24 (\sqrt{\xi}/r_0)^{0,029}$ , которое обобщает полученные данные с погрешностью, не превышающей 5 %.

#### ЛИТЕРАТУРА

1. Юдаев Б. П., Михайлов М. С., Савин В. К. Теплообмен при взаимодействии струй с преградами. — М.: Машиностроение, 1977.
2. Турбулентное смещение газовых струй/Г. Н. Абрамович, С. Ю. Крашенинников, А. Н. Секундов и др. — М.: Наука, 1974.
3. Снерроу Е. М., Ли Л. Анализ поля течения и тепломассообмена при ударе неоднородной плоской струи // Тр. Америк. об-ва инж.-мех. Теплопередача. — 1975. — Т. 97, № 2.
4. Абросимов А. И. К вопросу о внутреннем пике коэффициента теплоотдачи на пластине, омываемой отвесной струей // ТВТ. — 1984. — Т. 22, № 3.
5. Численные методы исследования течения вязкой жидкости/А. Д. Госмен, В. М. Пан, А. К. Ранчел и др. — М.: Мир, 1972.
6. Beltaos S., Rajaratnam N. Impinging circular turbulent jets // J. Hydraul. Div. Proc. Amer. Soc. Civ. Engng. — 1974. — N 10.
7. Beltaos S., Rajaratnam N. Impingement of axisymmetric developing jets // J. Hydraul. Res. — 1977. — V. 15, N 4.
8. Стенанов С. И. Взаимодействие осесимметричной струи с плоской преградой // Изв. вузов. Машиностроение. — 1979. — № 9.
9. Тихонов А. Н., Самарский А. А. Уравнения математической физики. — М.: Гостехиздат, 1953.
10. Вулис Л. А., Ершин Ш. А., Ярин Л. П. Основы теории газового факела. — М.: Энергия, 1968.
11. Прудников А. Г., Волинский М. С., Сагалович В. П. Процессы смесеобразования и горения в воздушно-реактивных двигателях. — М.: Машиностроение, 1971.
12. Гиневский Г. С. Теория турбулентных струй и следов. — М.: Машиностроение, 1969.
13. Wille R. Beiträge für Phänomenologie der Freistrahlen // Flugwiss. — 1963. — Bd 11, N 6.
14. Rankin G. W., Sridhar K. Developing region of laminar jets with parabolic exit velocity profiles // Trans. ASME. J. Fluids Engng. — 1981. — V. 103, N 6.
15. Donaldson C., Snedeker R. A study of free jet impingement. Pt 1. Mean properties of free and impinging jets // J. Fluid Mech. — 1971. — V. 45, N 2.
16. Дыбан Е. П., Мазур А. И., Давыденко И. Г. Влияние турбулентности на продольный градиент скорости в области торможения импактных струй // Теплообмен в энергетических установках. — Киев: Наук. думка, 1978.
17. Порех, Цюй, Чермак. Исследование турбулентной радиальной пристеночной струи // Тр. Америк. об-ва инж.-мех. Прикл. механика. — 1967. — Т. 34, № 2.
18. Шлихтинг Г. Теория пограничного слоя. — М.: Наука, 1974.
19. Hrycak P. Heat transfer from a row of impinging jets to concave cylindrical surfaces // Intern. Heat and Mass Transfer. — 1981. — V. 24, N 3.

Поступила 1/VII 1987 г.